

(30)

эффект,
со сред-

(31)

(32)

деление
иты (n_0^m)
ий, если
и, имею-

а поста-

«Наука»,

966.

формации

, вып. 2,

формации,

арап, 12,

ие», 160.

1970 г.

УДК 535.417 : 535.345.6

К ТЕОРИИ ОТРЕЗАЮЩИХ ИНТЕРФЕРЕНЦИОННЫХ ФИЛЬТРОВ

Е. А. Несмелов и Г. П. Колюхов

Рассмотрены условия выбора показателей преломления слоев и подложек, оптимизирующих отрезающий интерференционный фильтр. Толщины слоев могут быть отличными от четвертьволновых. Проведена оценка крутизны и фоновой прозрачности фильтра. Результаты расчетов представлены графически.

Несмотря на широкое применение отрезающих интерференционных систем в современной практике, до сих пор дано лишь качественное их описание [1]. Авторы работ [1, 2] показали, что четвертьволновые интерференционные системы с обрамляющими слоями вдвое меньшей оптической толщины могут служить хорошими фильтрующими системами, пропускающими длинноволновое излучение и отражающими коротковолновое. Теоретический анализ свойств таких систем, данный в работе [3], показывает, что при специальном выборе показателей преломления слоев, образующих интерференционную систему, свойства последней оказываются оптимальными, т. е. коэффициент пропускания в полосе прозрачности становится максимально возможным, крутизна перехода от большой прозрачности к большому отражению достаточно большой, коэффициент пропускания в полосе больших отражений мал, что обеспечивает получение фильтрующих систем с малым фоновым пропусканием.

В [1] указано, что небольшое изменение толщин слоев ведет к улучшению оптических свойств отрезающих систем. В настоящей работе строится теория оптимальных в смысле [3] отрезающих систем с учетом того, что толщины слоев могут быть отличными от четвертьволновых.

Обозначая, как и в [3], высокопреломляющий четвертьволновый при длине волны λ_0 слой через H , низкопреломляющий четвертьволновый слой через L , подложку через D , а отступление толщин слоев системы от четвертьволновости через множитель g , рассмотрим m -периодическую систему состава

$$D (g_1 H g_2 L g_3 H)^m, \quad (1)$$

где параметр m , характеризующий общее число N слоев в системе [2, 4], определяется из условия $N = 2m + 1$.

Для формулировки условий оптимизации в более общем случае неравнотолщинных слоев запишем коэффициент пропускания системы слоев (1)

$$T = \frac{4n}{(1+n)^2 + \frac{\sin^2 m\psi}{\sin^2 \psi} (a_{21} - a_{12})(a_{21} - n^2 a_{12})}, \quad (2)$$

$\cos \psi = a_{11} = a_{22}$, a_{ij} — элементы матрицы интерференции одного периода системы, n — показатель преломления подложки.

Анализ огибающих [5] семейства функций коэффициента пропуска-ния $T(m)$ в области высокой прозрачности, исходящий из требования, что огибающая минимумов не меньше прозрачности подложки T_0 , показывает, что и периоды, и система (1) в целом должны быть симметричны, т. е. $a_{11} = a_{22}$ и $g_1 = g_3$ при $n_1 = n_3 = n_H$ (n_H — показатель преломления слоя H , $n_2 = n_L$ в последующем изложении — показатель преломления слоя L).

Положив отношение толщин симметричного периода $g_2/g_1 = l$ и $g_1 = g_3 = 1$, запишем явный вид функций a_{12} и a_{21}

$$\left. \begin{aligned} a_{12}(\varphi) &= \frac{1}{n_1} \left(\sin 2\varphi \cos l\varphi + \frac{n_1^2 + n_2^2}{2n_1 n_2} \sin l\varphi \cos 2\varphi + \frac{n_1^2 - n_2^2}{2n_1 n_2} \sin l\varphi \right), \\ a_{21}(\varphi) &= n_1 \left(\sin 2\varphi \cos l\varphi + \frac{n_1^2 + n_2^2}{2n_1 n_2} \sin l\varphi \cos 2\varphi - \frac{n_1^2 - n_2^2}{2n_1 n_2} \sin l\varphi \right), \\ \varphi &= \frac{\pi}{2} \frac{\lambda_0}{\lambda}. \end{aligned} \right\} \quad (3)$$

В работе [3] нами была рассмотрена оптимизация системы слоев типа (1) при $l = 2$ и получены соотношения для показателей преломления n_2 и n .

Получим при $g_2/g_1 = l$ более общие условия оптимизации и соотношения для n_2 и n .

Из выражения (2) следует, что величина T будет больше прозрачности подложки $T_0 = 4n/(1+n)^2$ при выполнении условий

$$a_{21} > a_{12}, \quad a_{21} < n^2 a_{12}, \quad (4)$$

и будет равна ей при $a_{21} = a_{12}$ и $a_{21} = n^2 a_{12}$.

Для того чтобы область высокой прозрачности была наибольшей, необходимо и достаточно выполнения условий (4) внутри и на границах интервала $\psi_2 \leq \psi(\varphi) \leq \psi_1$, где по результатам работы [3]

$$\psi_1 = \pi - \psi_2, \quad \psi_2 = \pi/m. \quad (5)$$

Пользуясь (2) и (5), условия (6) представим как систему четырех уравнений

$$a_{12}(\varphi_1) = \sin \psi_1, \quad (6)$$

$$a_{21}(\varphi_1) = \sin \psi_1, \quad (7)$$

$$a_{12}(\varphi_2) = \frac{1}{n} \sin \psi_2, \quad (8)$$

$$a_{21}(\varphi_2) = n \sin \psi_2. \quad (9)$$

Систему уравнений (6), (7) можно преобразовать к более удобному для анализа и вычислений виду

$$n_{2\min} = n_1 e^{-v(\varphi_1)}, \quad (10)$$

при

$$\operatorname{sh} v(\varphi_1) = \frac{n_1^2 + 1}{2n_1} \cdot \frac{\sin \frac{\pi}{m}}{\sin l\varphi_1},$$

где φ_1 определяется из уравнения

$$\cos l\varphi_1 = \frac{n_1^2 + 1}{2n_1} \sin \frac{\pi}{m} \sin 2\varphi_1 - \cos \frac{\pi}{m} \cos 2\varphi_1. \quad (11)$$

Точное значение $n_{2\min}$ может быть получено из (10) только после численного решения относительно φ_1 уравнения (11) при заданных значениях n_1 , l , m . Условия (4) показывают, что полученное таким образом значение n_2 минимально возможное для достижения оптимизации. Рассматривая (10), можно установить характер изменения n_2 в зависимости от параметра v . Как следует из определения параметра v , при малых и больших l показатель преломления n_2 оказывается малым. Причем n_2 при $\varphi_1 = \pi/ml$ становится равным единице. В точке $\varphi_1 = \pi/2l$

достигается экстремальное значение n_2 . Значение l , при котором достигается экстремум n_2 , определяется формулой

$$\operatorname{tg} \frac{\pi}{m} \operatorname{tg} \frac{\pi}{l} = \frac{2n_1}{n_1^2 + 1}, \quad (12)$$

полученной из (11) подстановкой $\varphi_1 = \pi/2l$.

Решение уравнений (8), (9) с подстановкой найденного значения $n_{2\min}$ относительно n и φ , при котором $\psi = \pi/m$, дает минимальное значение показателя преломления n_{\min} , необходимое для получения оптимальной спектральной характеристики. Система уравнений (8), (9) может быть представлена в форме

$$n_{\min} = n_1 e^{-u(\varphi_2)}, \quad (13)$$

при

$$\operatorname{sh} u(\varphi_2) = \operatorname{sh} v(\varphi_1) \frac{\sin l\varphi_2}{\sin\left(\frac{\pi}{m}\right)},$$

где φ_2 можно найти из уравнения

$$\operatorname{tg} l\varphi_2 = \frac{\cos \frac{\pi}{m} \sqrt{\operatorname{sh}^2 v \sin^2 2\varphi_2 + \sin^2 \frac{\pi}{m} - \operatorname{ch} v \cos 2\varphi_2 \sin 2\varphi_2}}{\cos^2 \frac{\pi}{m} - \operatorname{ch}^2 v \sin^2 2\varphi_2}. \quad (14)$$

Отметим, что найденные выражения (10) и (13) при значении $l=2$ совпадают с рассмотренными ранее в работе [3]. Полученное решение отличается большей общностью и пригодностью к самым разнообразным случаям практики. Для примера на рис. 1 показана зависимость $n_{2\min}$ и n_{\min} от l при значениях $m=5$ и $n_1=2.5$. Этот рисунок подтверждает все сделанные выше выводы о характере зависимости n_2 и n от l .

В том случае, когда используются величины n_2 и n , отличные от минимальных, область большой прозрачности не будет совпадать с интервалом $\psi_2 \leq \psi \leq \psi_1$. Эта область может быть найдена по выражениям (10) и (13) при разрешении их относительно величин φ_1 и φ_2 . Причем, если значения n_2 и n меньше, чем $n_{2\min}$ и n_{\min} , область большой прозрачности уменьшается и система оказывается не оптимальной, а если n_2 и n больше, чем $n_{2\min}$ и n_{\min} , то область большой прозрачности расширяется.

Качество отрезающего фильтра характеризуется крутизной перехода от большой прозрачности к большим отражениям. Определим крутизну как тангенс угла наклона касательной в области перехода, т. е. выражением

$$K = \frac{\pi}{2} \frac{T(\varphi_1) - T(\varphi_0)}{\varphi_0 - \varphi_1}, \quad (15)$$

где φ_1 определяется уравнением $a_{11} = \cos \psi_1$, а φ_0 уравнением $a_{11} = -1$ ($\psi = \pi$). Величина K при известных $n_{2\min}$ и n_{\min} определяется после нахождения φ_1 и φ_0 простым вычислением по формуле (15); пропускание вычисляется по формуле (2). Крутизна K зависит от m и l , входящих в (15) неявно через $n_{2\min}$ и n_{\min} ; с ростом m и l крутизна растет. Отметим, кроме того, еще тот факт, что если n_2 и n выбирать несколько больше их минимальных значений, то крутизна несколько возрастет, но при этом за счет уменьшения разности в показателях преломления уменьшается ширина области высоких отражений [4], т. е. увеличение n_2 оказывается не выгодным. Пример зависимости крутизны от параметра l приводится на рис. 2 для слу-

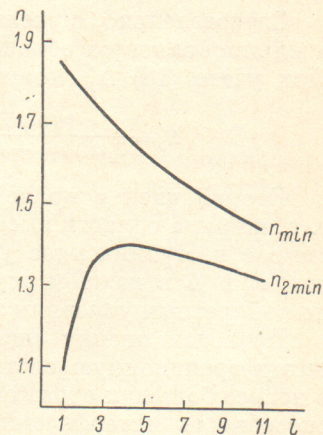


Рис. 1.

чая $m=5$, $n_1=2.5$. Крутизна K , как следует из рисунка, растет почти линейно с l . Аналогична и зависимость K от m .

Рассмотрим изменение ширины полосы высоких отражений в зависимости от параметра l .

В точке перехода к высоким отражениям φ_0 достигается значение $\psi = \pi$, т. е. $a_{11} = -1$. В силу определения матричных элементов должно выполняться равенство $a_{11}^2 + a_{12}a_{21} = 1$. Если же $a_{11}^2 = 1$, то очевидно, что или $a_{12} = 0$, или $a_{21} = 0$. С длинноволновой стороны при $\varphi < \pi/2$ будет выполняться равенство $a_{21} = 0$, а при $\varphi > \pi/2$ будет $a_{12} = 0$. Используя эти соотношения, границы области больших отражений можно описать уравнениями

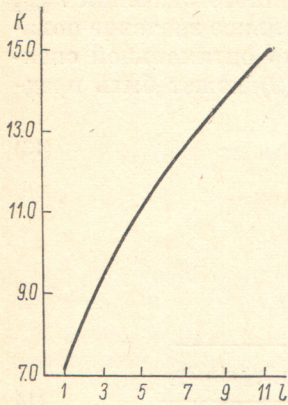


Рис. 2.

$$\sin l\varphi_0 = \frac{\sin 2\varphi_0}{\operatorname{ch} v - \operatorname{sh} v \cos 2\varphi_0}, \quad (16)$$

$$\sin l(\Delta + \varphi_0) = \frac{\sin 2(\Delta + \varphi_0)}{\operatorname{ch} v + \operatorname{sh} v \cos 2(\Delta + \varphi_0)}. \quad (17)$$

Здесь принято, что ширина области высоких отражений равна Δ . Находя из (16) при $\operatorname{sh} v$ и $\operatorname{ch} v$, не зависящих от l , производную φ_{0l} , убеждаемся, что с увеличением l величина φ_0 уменьшается, так как

$$\varphi_{0l} = -\frac{\varphi_0 \sin 2\varphi_0}{2 \sin l\varphi_0 + l \sin 2\varphi_0} < 0. \quad (18)$$

Следовательно, с увеличением l область высоких отражений смещается в длинноволновую область спектра. Далее из (17) найдем величину Δ'_l . При учете (18) Δ'_l можно выразить формулой

$$\Delta'_l = \frac{\varphi_0 \sin 2\varphi_0}{2 \sin l\varphi_0 + l \sin 2\varphi_0} - \frac{(\Delta + \varphi_0) \sin 2(\Delta + \varphi_0)}{2 \sin l(\Delta + \varphi_0) + l \sin 2(\Delta + \varphi_0)}. \quad (19)$$

Второй член в правой части (19) больше первого, поэтому $\Delta'_l < 0$, т. е. ширина области высоких отражений с увеличением l убывает. В этом смысле неограниченное увеличение l не выгодно. Точное значение величин φ_0 и Δ в каждом случае следует получать из (16), (17) и оценивать по конкретным условиям задачи на применимость той или иной величины l .

Проведем оценку еще одного параметра, характеризующего данную интерференционную систему. Речь идет о «фоне», т. е. о прозрачности в полосе больших отражений. Этот параметр характеризует фильтрующую способность интерференционного светофильтра.

Для оценки прозрачности интерференционной системы в полосе отражения найдем основные экстремумы спектральной кривой $T(\varphi)$, выражаемой уравнением (2). При этом мы не будем обращать внимания на серию экстремумов, определяемую множителем $\sin^2 m\psi / \sin^2 \psi$. Будем считать (2) функцией двух переменных $y = a_{21}$ и $z = a_{12}$ и, дифференцируя по y и z , найдем условие существования экстремумов. Такая операция возможна, поскольку a_{12} и a_{21} являются гладкими функциями φ и неизбежно существование их первых производных. Проводя дифференцирование (2) по y , z и используя свойство симметрии системы, требующее выполнения соотношения $\sin^2 \psi = yz$, получим условия экстремумов функции $T(\varphi)$

$$a_{21} = \pm na_{12}. \quad (20)$$

Верхний знак в (20) относится к полосе прозрачности, а нижний к полосе отражений. Максимальная прозрачность при $a_{21} = na_{12}$ будет наблюдаться при условии $\sin^2 m\psi = 1$, что выполняется далеко не всегда и требует специального выбора параметров системы. В полосе отражения минимум определяется выражением $a_{21} = -na_{12}$ и обеспечивается независимо от всех параметров системы. Положение его определяется показа-

телями преломления слоев и их толщинами. Выражение (20) для этого случая можно представить в виде

$$\operatorname{tg} l\varphi = \frac{2n_1 n_2 (n_1^2 + n) \sin 2\varphi}{(n_1^2 - n)(n_1^2 - n_2^2) - (n_1^2 + n)(n_1^2 + n_2^2) \cos 2\varphi}. \quad (21)$$

Величина же T_{\min} зависит от числа слоев в системе, причем с увеличением числа слоев минимум углубляется.

Увеличение параметра l сдвигает минимум в длинноволновую область спектра, как и всю полосу больших отражений, и вместе с тем, в силу уменьшения абсолютного значения φ , прозрачность в этой полосе повышается. При достаточно больших l прозрачность может оказаться весьма значительной, что и иллюстрируется рис. 3. Быстрый рост минимальной прозрачности определяется первым сомножителем второго слагаемого знаменателя (2). Это накладывает известные ограничения на возможность изменения толщин слоев системы. Для расчета кривой $T_{\min}(l)$, представленной на рис. 3, использован случай $m=5$ и $n_1=2.5$.

Построенная таким образом теория отрезающего интерференционного фильтра позволяет провести выбор необходимых параметров системы слоев для получения наилучшей спектральной характеристики.

В заключение остается добавить, что рассмотренные системы слоев могут найти широкое применение при конструировании фильтров, отражающих очень широкие участки коротковолновой области спектра. В самом деле ширина полосы отражения одной системы недостаточна для полного гашения коротковолновой прозрачности, что означает необходимость наслаивания систем друг на друга [6]. Рассмотренные выше системы оказываются довольно выгодными с двух точек зрения. Во-первых, толщина каждой системы в целом оказывается меньше толщины обычно употребляемых для наслаивания систем, что позволяет предполагать более высокую устойчивость относительно внутренних натяжений, неизбежно появляющихся в слоях при их изготовлении. Во-вторых, рассмотренные системы обладают несколькими полосами больших отражений (их число зависит от l), что позволяет уменьшить общее число систем, необходимых для изготовления фильтра.

Авторы выражают благодарность М. А. Валидову за внимание к работе.

Литература

- [1] В. Ф. Суетин, М. Н. Черепанова, А. Ф. Первеев. Оптико-механич. промышл., № 6, 15, 1963.
- [2] A. F. Turner, P. W. Vaumeister. Appl. Optics, 5, № 1, 1966.
- [3] П. Г. Кард, Е. А. Несмелов, Г. П. Конюхов. Изв. АН ЭССР, № 3, 314, 1968.
- [4] I. I. Vega. Optica Acta, 12, 515, 1965.
- [5] С. Н. Фиников. Дифференциальная геометрия, 47. Изд. МГУ, 1961.
- [6] М. А. Гисин, Оптико-механич. промышл., № 3, 37, 1969.

Поступило в Редакцию 15 июня 1970 г.

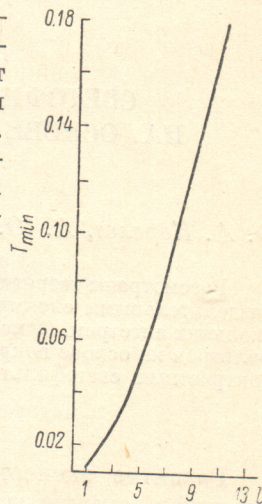


Рис. 3.